

## تأثیر پارامترهای محلول بر مورفولوژی و شکل گیری نانوالیاف الکتروریسی صمغ برگ گیاه آزیوش (*Corchorus olitorius L.*) - پلی وینیل الكل

سیده زهرا حسینی<sup>1</sup>، سید مهدی جعفری<sup>2</sup>، هدی شهری طبرستانی<sup>3</sup>، محمد قربانی<sup>4</sup>

الهام اسدپور<sup>5</sup>

1- دانشجوی کارشناسی ارشد مهندسی علوم و صنایع غذایی، دانشکده صنایع غذایی، دانشگاه علوم کشاورزی و منابع طبیعی گرگان، گرگان، گلستان، ایران

2- استاد گروه مهندسی صنایع غذایی، دانشکده صنایع غذایی، دانشگاه علوم کشاورزی و منابع طبیعی گرگان، گلستان، ایران

3- استادیار گروه شیمی مواد غذایی، دانشکده صنایع غذایی، دانشگاه علوم کشاورزی و منابع طبیعی گرگان، گلستان، ایران

4- دانشیار گروه شیمی مواد غذایی، دانشکده صنایع غذایی، دانشگاه علوم کشاورزی و منابع طبیعی گرگان، گلستان، ایران

5- عضو هیئت علمی موسسه غیرانتفاعی بهاران، گرگان، گلستان، ایران

(تاریخ دریافت: 97/12/01 تاریخ پذیرش: 98/01/31)

### چکیده

در پژوهش حاضر صمغ برگ گیاه آزیوش (*Corchorus olitorius L.*) برای نخستین بار با کمک روش الکتروریسی در حضور پلی وینیل الكل به صورت نانوالیاف طبیعی مورد استفاده قرار گرفت. ابتدا اثر نسبت‌های مختلف اختلاط محلول آبی صمغ آزیوش (G) در غلظت‌های مختلف (2/5 و 3 گرم بر لیتر) با پلی وینیل الكل (P0:G100 P50:G50 P60:G40 P70:G30) بر ویسکوزیته و هدایت الکتریکی به عنوان اصلی ترین پارامترهای محلول بررسی شد. نتایج نشان داد با افزایش غلظت صمغ و نسبت حجمی پلی وینیل الكل ویسکوزیته افزایش معنی داری یافت (p<0/01). همچنین صرف نظر از میزان غلظت صمغ آزیوش با افزایش نسبت صمغ به پلی وینیل الكل هدایت الکتریکی افزایش معنی داری نشان داد (p<0/05). در بررسی تعییرات تنفس برشی - نرخ برشی محلول‌های صمغ آزیوش و پلی وینیل الكل رفتار سودوپلاستیک تأیید شد. بررسی برآش داده‌های رئولوژیکی با مدل‌های هرشل بالکلی، قانون توان و کاسون نشان داد مدل هرشل بالکلی با بیشترین میزان  $R^2/RMSE$  به شکل مطابق توصیف کننده رفتار جریان است و مقادیر اندیس جریان و ضریب قوام با مدل مذکور تعیین شدند. پس از الکتروریسی محلول صمغ آزیوش - پلی وینیل الكل در شرایط ثابت دستگاهی (ولتاژ 18 کیلوولت، شدت جریان حجمی 0/7 میلی لیتر بر ساعت و فاصله سوزن تا صفحه جمع کننده 12 سانتی‌متر)، با بررسی ریزساختار و بر بنای مورفولوژی فقد گویچه فرمولاسیون صمغ آزیوش در غلظت 2 گرم بر لیتر و نسبت اختلاط 70:30 با پلی وینیل الكل (P70:G30-C2) به عنوان مناسب‌ترین فرمولاسیون با میانگین قطر نانوالیاف 90 نانومتر انتخاب شد. بر اساس نتایج FTIR افزودن صمغ به پلی وینیل الكل سبب افزایش شدت باندها به دلیل ارتعاشات گلیکوزیدی گروه‌های کربونیل و هیدروکسیل گردید. همچنین پایداری حرارتی نانوالیاف صمغ گیاه آزیوش در حضور پلی وینیل الكل افزایش یافت.

**کلید واژگان:** الکتروریسی، نانوالیاف، صمغ گیاه آزیوش (*Corchorus olitorius L.*), ویسکوزیته، هدایت الکتریکی

## ۱- مقدمه

مقیاس نانومتری به محدوده کوچکتر از میکرومتری به طور معمول کمتر از 100 نانومتر اشاره دارد هر چند در بازه‌های وسیع تری از اندازه ذرات در محدوده 500 تا 800 نانومتر نیز گزارش شده است. فناوری نانو با ایجاد ویژگی‌های جدید از مواد و ساختار، بسیاری از جنبه‌های صنعت غذا و کشاورزی را تحت تأثیر قرار داده است. در سال‌های اخیر با پیشرفت این فناوری، تولید الیاف با قطر نانومتری مورد توجه فراوانی قرار گرفته است [1]. نانوالیاف رشته‌های بسیار باریکی هستند که نسبت طول به قطر بالایی دارند. با کاهش قطر الیاف از میکرومتر به نانومتر، ویژگی کاربردی الیاف افزایش می‌یابد [2]. از جمله روش‌های تولید نانوالیاف می‌توان به کشش<sup>1</sup>، تولید با قالب<sup>2</sup>، جداشی فازی<sup>3</sup>، خودآرایی<sup>4</sup> و الکتروریسمی<sup>5</sup> اشاره داشت. در بین روش‌های مذکور روش الکتروریسمی به عنوان کارآمدترین روش برای تولید انواع نانوالیاف و میکروالیاف از محلول‌های پلیمری مطرح است [3]. در فرایند الکتروریسمی از طریق اعمال ولتاژهای الکتریکی بالا بر محلول پلیمری و تغیر حلال موجود در آن، تولید نانوالیاف صورت می‌گیرد [5]. تشکیل نانوالیاف به روش الکتروریسمی به دلیل مزایایی چون نسبت سطح به حجم بالا، تخلخل زیاد، تولید در حالت غیرتماسی و افزایش عملکرد در مقایسه با سایر فرایندهای تولید موردن مقبولیت قرار گرفته است. به کمک فناوری الکتروریسمی انواع بیوپلیمرهای طبیعی از جمله پروتئین‌ها، پلی‌ساکاریدها و سایر ترکیبات طبیعی را می‌توان به الیاف با مقیاس نانومتری تبدیل کرد [3].

در فرایند الکتروریسمی سیال پلیمری برای تولید الیاف، در معرض میدان الکتریکی با ولتاژهای خیلی بالا قرار می‌گیرد. سیال با ردار تشکیل یک جت سیال می‌دهد که به سمت قطب منفی که یک جمع‌کننده است حرکت می‌کند [6].

صمع‌ها گروه وسیعی از پلی‌ساکاریدها هستند که به عنوان منع جدیدی از پلیمرهای زیستی در تولید نانوالیاف استفاده می‌شوند [7]. صمع‌ها بر اساس رفتار الکتروریسمی در سه گروه طبقه‌بندی می‌شوند: صمع‌هایی مانند پولولان قادر به تشکیل

الیاف می‌باشند، گروهی دیگر مانند صمع گوار قادر به تشکیل جت بوده اما الیاف تشکیل نمی‌دهند و گروهی مانند صمع عربی توانایی تشکیل جت را ندارند [8].

آزی‌وش (*Corchorus olitorius L.*) یک گیاه خوراکی و دارویی بسیار با ارزش می‌باشد. این گیاه یکی از مهمترین سبزی‌های برگی می‌باشد که در کشورهای گرمسیری آسیا و آفریقا یافت می‌شود. همچنین دارای مقدار زیادی آهن و اسیدوفولیک بوده که در پیش‌گیری از کم خونی مفید می‌باشد و علاوه بر تأمین پروتئین، انرژی و مواد معدنی، با تأثیر بر هورمون‌های ویژه در بدن یک گیاه نیروبخش و جوان‌کننده می‌باشد [9]. کاشت گیاه آزی‌وش در ایران برای نخستن بار در مزرعه دانشگاه علوم کشاورزی و منابع طبیعی گرگان‌در سال 1390 صورت گرفت. برداشت این گیاه در سطح زراعی منطقه گرگان بیش از 10 تن در هکتار گزارش شد [10]. صمع برگ گیاه آزی‌وش غیرسمی، زیست‌تخربی‌پذیر و دارای وزن مولکولی بالا است. همچنین دارای 87 درصد کربوهیدرات از کل مواد جامد می‌باشد که بیشترین آن مربوط به گلوكورونیک اسید (53 درصد) و گالاكتورونیک اسید (33 درصد) است. صمع آزی‌وش دارای ویتامین‌های گروه C و مقدار کمی اسید آمینه متیونین است. بر اساس نتایج یامازاکی و همکاران (2009) وزن مولکولی صمع آزی‌وش حدود 940 کیلو Dalton‌ون بوده است. همچنین ویسکوزیته هیدرولکلوبئید استخراج شده از صمع آزی‌وش در غلاظت 0/5 درصد (وزنی/وزنی) نسبت به سایر هیدرولکلوبئیدهای تجاری مانند صمع آگار و صمع دانه خرنوپ در شرایط مشابه بالاتر گزارش شد [11]. مزیت قابل اهمیت صمع آزی‌وش در فرایند الکتروریسمی، وزن مولکولی بالای آن می‌باشد.

پلی‌وینیل الكل<sup>6</sup> به عنوان یک پلیمر سنتزی محلول در آب، غیر سمی، زیست‌تخربی‌پذیر و دارای ویژگی مکانیکی مناسب می‌باشد. این پلیمر در هر ساختار تکرار شونده خود یک گروه هیدرولکسیل دارد که به آن قابلیت تشکیل شبکه می‌دهد. گروه‌های هیدرولکسیل با سایر پلیمرها پیوند داده و با تبدیل محلول به فرم ژل فرایند الکتروریسمی را تسهیل می‌سازد [12]. در تحقیقات پیشین از ترکیب پلی‌وینیل الكل به عنوان کمک کننده فرایند الکتروریسمی با صمع‌های مختلف بهره برده شد؛ از جمله فهامی و فتحی (2018) از صمع دانه شاهی در اختلاط

6. Polyvinyl alcohol

تأثیرگذار در فرایند الکتروریسی و تولید الیاف با قطر مناسب می‌باشد. محلول پلیمری مناسب در روش الکتروریسی باید با وزن مولکولی مناسب تهیه شود تا گرانبروی کافی برای تشکیل جت پایدار را داشته باشد. افزایش غلظت و وزن مولکولی موجب افزایش درهم‌تنیدگی زنجیرهای پلیمری شده که برای حفظ جریان ستادبار محلول در فرایند الکتروریسی لازم است. البته غلظت‌های بالاتر از حد آستانه منجر به شکل‌گیری الیاف قطع‌تر می‌شود و کاهش غلظت از حد آستانه منجر به شکل‌گیری گویچه و یا الیاف بسیار ظرفی می‌گردد که در امتدادشان گویچه تشکیل شده است [18]. غلظت پای ساکاریدها تأثیر قابل توجهی در فرایند الکتروریسی دارد، غلظت مورد نیاز پای ساکاریدها برای ایجاد کشیدگی<sup>1</sup> معنی‌دار در الکتروریسی، غلظتی است که در آن شعاع هیدرودینامیکی مولکولی به حدی می‌رسد که جت مواد به طور مدام از سوزن موئینه خارج می‌شود. پلی ساکاریدهایی که زنجیره مولکولی فشرده‌تری دارند نسبت به پلی ساکاریدها با تراکم کم‌تر، در شرایط ثابت دستگاهی تمایل به کشیدگی کم‌تر و تشکیل گویچه به جای الیاف دارند. ویسکوزیته پایین از تشکیل جت و تولید الیاف جلوگیری می‌کند، زیرا جت مایع هنگامی که تحت تأثیر میدان الکتریکی کشیده و گسترش می‌یابد، به راحتی شکسته می‌شود. بنابراین مقاومت پلیمر در فرایند الکتروریسی اهمیت زیادی دارد [19]. انتقال بار الکتریکی از الکتروود به قطه شکل‌گرفته در نوک سوزن جهت شکل‌گیری الیاف حائز اهمیت است، بنابراین حداقل هدایت الکتریکی محلول جهت الکتروریسی ضروری به نظر می‌رسد. اتحال پلیمر در حاللهای رایج با هدایت الکتریکی بسیار پایین مانند آب به دلیل ناخالصی‌ها یا افزودنی‌های موجود در آن و متعاقباً افزایش دسترسی به اجزا یونی هادی، موجب افزایش هدایت الکتریکی محلول در فرایند الکتروریسی می‌گردد [20].

در پژوهش حاضر به منظور تولید نانوالیاف، صفحه آزمیش (G) در غلظت‌های مختلف (2/5 و 3 گرم بر لیتر) در اختلاط با پلی‌وینیل الکل 8 درصد پس از آزمون‌های اولیه‌در نسبت‌های مختلف (30:70، 40:60، 50:50 و 100:0) الکتروریسی شد. هدایت الکتریکی، ویسکوزیته و رفتار تنفس بررشی به نرخ بررشی (کرنش) محلول‌ها بررسی و با مدل‌های قانون توان، هرچهل بالکلی و کلسون برآش شد و بهترین مدل انتخاب گردید.

با پلی‌وینیل الکل به منظور تولید نانوالیاف الکتروریسی استفاده کردند. این محققین در نسبت صفحه آنالیاف شاهی به پلی‌وینیل الکل 60:40 به کمترین میانگین قطر نانوالیاف دست یافتند [7]. بر اساس این نتایج اختلاط صفحه شاهی با پلی‌وینیل الکل منجر به افزایش پایداری نانو الیاف شد. همچنین نتایج مشابهی در مورد استفاده از صفحه درخت بادام توسط رضابی و همکاران (2016) گزارش شد [13].

کورد و همکاران (2016) الکتروریسی صفحه بذر ریحان در ترکیب با پلی‌وینیل الکل را به عنوان روشنی مؤثر برای حفظ ترکیبات زیست‌فعال در بسته‌بندی مواد غذایی مورد بررسی قرار دادند. نتایج میکروسکوپ الکترونی رویشی نشان داد که در نسبت اختلاط 70:30 این دو پلیمر در غلظت‌های مختلف صفحه نانوالیاف با قطر 179 تا 390 نانومتر حاصل شد. این محققین نانوالیاف بر پایه صفحه بذر ریحان را برای ریزپوشانی ترکیبات زیست‌فعال و تولید فیلم بسته‌بندی پیشنهاد کردند [14].

همچنین ایزلام و کریم (2010)، از ترکیب پلی‌وینیل الکل 10 درصد و صفحه آژینات 2 درصد به منظور تولید نانوالیاف به روش الکتروریسی استفاده کردند. نتایج آنها نشان داد که برهمکنش مناسبی بین آژینات و پلی‌وینیل الکل از طریق تشکیل پیوندهای هیدروژنی صورت گرفت. همچنین با افزایش درصد آژینات در مخلوط مذکور پایداری حرارتی نانوالیاف افزایش یافت. به علاوه افزایش آژینات موجب بهبود ویژگی‌های مکانیکی نانوالیاف حاصل از پلی‌وینیل الکل خالص شد [15]. سوزا و همکاران (2015) از محلول پلی‌وینیل الکل 10 درصد به عنوان کمک الکتروریسی در ترکیب با صفحه آگار 1 درصد در نسبت‌های 0:100، 0:80، 0:70:30، 50:50 و 100:0 استفاده کردند. نتایج نشان داد که نسبت 30 پلی‌وینیل الکل به آگار نسبت بهینه جهت تولید نانوالیاف بود [16]. پادیل و همکاران (2016) از صفحه‌های عربی، کارایا و کونداگوگو در ترکیب با پلی‌وینیل الکل جهت الکتروریسی استفاده کردند. با نسبت‌های بهینه اختلاط پلی‌وینیل الکل با صفحه‌ها (70:30، 10:90 و 80:20) نانوالیاف بدون گویچه با میانگین قطر به ترتیب 240، 220 و 210 نانومتر حاصل شد [17].

در روش الکتروریسی مشخصات محلول، پارامترهای فرایند و پارامترهای محیطی بر ویژگی‌های الیاف تأثیرگذار هستند [5]. غلظت و ویسکوزیته محلول پلیمری اولین و مهم‌ترین پارامتر

1. Entanglements

### 2-3- تهیه محلول الکتروریسمی با ترکیب درصدهای مختلف صمغ گیاه آزیوش و

#### پلی‌وینیل الكل

محلول آبی صمغ گیاه آزیوش پس از آزمون‌های اولیه‌در غلظت‌های مختلف (2/5 و 3 گرم بر لیتر) و محلول آبی پلی‌وینیل الكل در غلظت ثابت 8 درصد هر کدام در دمای 40 درجه سانتی‌گراد تحت اختلاط شدید با همزن مغناطیسی با سرعت 700 دور در دقیقه به مدت 12 ساعت قرار گرفتند. نسبت‌های مختلف صمغ آزیوش به پلی‌وینیل الكل بر اساس آزمون‌های اولیه در محدوده 50:50، 40:60، 30:70 و 100:0 تعیین شد و به مدت 12 ساعت بر روی همزن مغناطیسی قرار گرفت و در نهایت به مدت 12 ساعت در یخچال در دمای 4 درجه سانتی‌گراد قرار داده شد [16].

**1-3-2- تعیین ویسکوزیته محلول‌های پلیمری**  
آزمون ویسکوزیته برشی جهت تحلیل ویژگی رفتاری محلول‌های مختلف با استفاده از ویسکومتر (بروکفیلد، DV-II+pro، آمریکا) انجام شد. سرعت برشی، تش برشی و ویسکوزیته اندازه‌گیری گردید. نمونه‌های محلول به داخل استوانه (ظرفیت 16 میلی‌لیتر: ULA-31Y بروکفیلد) مخصوص اندازه‌گیری ویسکوزیته ریخته شد. با استفاده از یک ژاکت آب در گرداش امکان تعادل دمایی در دمای مورد نظر (27 درجه سانتی‌گراد) فراهم شد. تغییرات تنش-کرنش در سرعت 5-40 دور بر دقیقه برسی شد و میزان ویسکوزیته نمونها بر حسب میلی پاسکال ثانیه در 25 دور بر دقیقه گزارش شد. سه مدل جریان هرشل بالکلی (معادله 1)، قانون توان (معادله 2) و کاسون (معادله 3) برای برازش داده‌های تجربی تنش برشی به نرخ برشی (کرنش) با استفاده از نرم‌افزار متلب نسخه R2010a برای محلول‌های مختلف آماده الکتروریسمی استفاده شد. در این معادلات K ضریب قوام (Pa.s<sup>n</sup>)، تنش برشی (Pa)، n شاخص رفتار جریان (عدد بدون بعد)، نرخ برش (s<sup>-1</sup>)، Η ویسکوزیته پلاستیک (Pa.s) است [22].

$$\tau = \tau_0 + KY^n$$

$$\text{معادله 1}$$

نمونه محلول‌ها تحت شرایط ثابت دستگاهی ولتاژ 18 کیلوولت، شدت جریان حجمی 0/7 میلی‌لیتر بر ساعت و فاصله سوزن تا جمع‌کننده 12 سانتی‌متر الکتروریسمی در نهایت با بررسی ویژگی‌های مورفولوژیکی فرمولاسیون قادر گریجه انتخابشد [16].

## 2- مواد و روش‌ها

### 1-2- مواد اولیه

در این پژوهش برگ گیاه آزیوش از مزارع شصت کلاهه گرگان در تابستان 1397 تهیه، سپس در دمای محیط خشک گردید و در دمای 4 درجه سانتی‌گراد نگهداری شد. آب دیونیزه از شرکت زلال، اتانول با خلوص 99 درصد از شرکت مرک آلمان و پلی‌وینیل الكل با وزن مولکولی 85000-124000 دالتون، ایزوپروپانول و سایر مواد شیمیایی مورد استفاده از نمایندگی شرکت سیگما آلدريج آمریکا خریداری گردید.

### 2- استخراج صمغ از برگ گیاه آزیوش

برگ گیاه آزیوش پس از خشک کردن در دمای محیط با آسیاب (آسان طوس شرق، 1000، ایران) به پودر تبدیل و پس از عبور از الک با مش 40 تا هنگام مصرف در دمای 4 درجه سانتی‌گراد در بسته‌های نایلونی زیپ‌دار نگهداری گردید. جهت استخراج صمغ برگ گیاه آزیوش از روش بروم و همکاران (2003) با اندکی اصلاحات استفاده شد. پودر برگ آزیوش با نسبت 1:30 (وزنی/حجمی) با آب دو بار تقطیر مخلوط و به مدت 45 دقیقه به کمک همزن مغناطیسی (آلفا، D500، ایران) در دمای محیط تحت اختلاط شدید قرار گرفت. سپس مخلوط حاصل، ابتدا از پارچه صافی عبور داده شده و برای حذف ناخالصی صمغ با نسبت 4000 دور در دقیقه به مدت 40 دقیقه سانتریفوژ (مدورنج، K240، انگلستان) گردید. صمغ استحصالی با نسبت 30:70 (حجمی/حجمی) با اتانول در دمای 18 درجه سانتی‌گراد مخلوط، سپس سه بار توسط ایزوپروپانول خالص با نسبت 50:50 شستشو و در نهایت به مدت 24 ساعت در خشک‌کن انجامدی (اپرون، FDB5503-کره‌جنوبی) تحت خلا (فشار 0/019 پاسکال و دمای 48 درجه سانتی‌گراد) خشک شد. بازده استخراج صمغ از برگ گیاه آزیوش 5/4 ±0/4 درصد (بر پایه وزن خشک) بود [21].

نانومتر) پوشش داده شدند. تصویربرداری از نمونه‌ها با ولتاژ شبتابدهنه‌ی 30 کیلوولت و بزرگنمایی 10000 برابر انجام گرفت. سپس میانگین قطر از میانگین حداقل 100 لیف با نرم‌افزار دیجی مایزر نسخه 2018 محاسبه گردید.

## 2-4-2 طیف‌سنجی مادون قرمز تبدیل فوریه<sup>2</sup> (ATR-FTIR)

تغییرات گروه‌های عاملی صمغ برگ گیاه آزیوش، الیاف الکتروریسی پلی‌وینیل الکل و نانوالیاف صمغ برگ گیاه آزیوش در اختلاط با پلی‌وینیل الکل به کمک دستگاه اسپکتروسکوپی مادون قرمز تبدیل فوریه (بروکر، Equinox 55-LSI 01، انگلستان) بررسی شد. در طیف حاصله از ماده، گروه‌های عاملی موجود در ساختار شیمیایی درناوهای مشخص به صورت پیک، ظاهر می‌شوند. طیف FTIR در حالت عبور با استفاده از اسپکتروفوتومتر در گستره عدد موجی 4000 تا 4000 بر سانتی‌متر بررسی شد [13].

## 3-4-2 گرما سنجی وزنی<sup>3</sup> (TGA)

پایداری حرارتی و رفتار تخریب حرارتی نانوالیاف با نرخ حرارت دهی 10 درجه سانتی‌گراد بر دقیقه در فضای حاوی نیتروژن و در گستره دمایی 30 تا 700 درجه سانتی‌گراد بر پودر صمغ برگ گیاه آزیوش، نانوالیاف پلی‌وینیل الکل، نانوالیاف صمغ برگ گیاه آزیوش در اختلاط با پلی‌وینیل الکل P70:G30-C2 بررسی گردید [23].

## 5-2 تجزیه و تحلیل آماری

به منظور تعیین اثر غاظت‌های مختلف صمغ آزیوش (سه سطح) و نسبت‌های مختلف اختلاط (چهار سطح) بر ویسکوزیته و هدایت الکتریکی محلول‌ها از طرح فاکتوریل و نرم‌افزار آماری SAS (نسخه 9) استفاده شد. میانگین‌ها در سطح اطمینان 95 درصد با آزمون چند دامنه‌ای دانکن مقایسه گردید. رسم نمودارها با استفاده از نرم‌افزار اکسل نسخه 2013 انجام و برآش داده‌های حاصل تنش برشی به نرخ برشی (کرنش) از طریق مدل‌های تجربی موجود با کمک نرم‌افزار متلب نسخه 2010a صورت پذیرفت.

$$\tau = K\gamma^n \quad \text{معادله 2}$$

$$\tau^{0.5} = \tau_0^{0.5} + \eta\gamma^{0.5} \quad \text{معادله 3}$$

## 2-3-2 تعیین هدایت الکتریکی محلول‌های پلیمری

محلول‌سمع آزیوش در غاظت‌های مختلف (2/5 گرم‌بر لیتر محلول) با پلی‌وینیل الکل (50:50، 40:60، 30:70 و 100:0) در حجم 20 میلی‌لیتر آماده و هدایت الکتریکی محلول‌های مختلف با هدایت سنج (لوترون، TM-947SD، تایوان) اندازه‌گیری شد [7].

## 4-2 الکتروریسی محلول‌های صمغ گیاه آزیوش و پلی‌وینیل الکل

دستگاه الکتروریسی مورد استفاده در این پژوهش در دانشکده صنایع غذایی دانشگاه علوم کشاورزی و منابع طبیعی گرگان طراحی و ساخته شد. اجزاء اصلی دستگاه الکتروریسی شامل پمپ سرنگی (سیرامد، ایران)، منبع تغذیه جریان مستقیم با ولتاژ بالا (الکتروتکنیک، ایران) و جمع‌کننده می‌باشد. محلول‌های پلیمری صمغ آزیوش-پلی‌وینیل الکل (در غاظت‌های مختلف صمغ و نسبت‌های مختلف اختلاط) درون سرنگ 10 میلی‌لیتر در پایه پمپ دستگاه الکتروریسی قرار گرفته و جهت خروج محلول از دستگاه الکتروریسی از سوزن G18 استفاده شد. سر سوزن به الکترود با قطب مثبت و صفحه‌ی جمع‌کننده چرخان (پوشیده شده با فویل آلومینیوم) به قطب منفی متصل شد و سرانجام با قرار دادن صفحه‌ی جمع‌کننده در فاصله معین از سر سوزن و اعمال ولتاژ فرآیند الکتروریسی آغاز شد. ولتاژ 18 کیلوولت، فاصله 12 سانتی‌متر و شدت جریان حجمی 0/7 میلی‌لیتر بر ساعت به عنوان شرایط ثابت دستگاهی الکتروریسی در نظر گرفته شدند. مناسب‌ترین نسبت صمغ به پلی‌وینیل الکل و نسبتی از آن که فاقد اسپری در صفحه جمع‌کننده بود جهت آزمون‌های تكمیلی انتخاب شد.

## 4-2 آنالیز ریزساختار نانوالیاف به کمک میکروسکوپ الکترونی رویشی<sup>1</sup> (SEM)

مورفولوژی نانوالیاف با استفاده از میکروسکوپ الکترونی رویشی (تسکان، Vegall، آلمان) بررسی گردید. نانوالیاف به کمک چسب نقره بر روی پایه آلومینیومی (نگه دارنده) چسبانده شدند. برای رسانایی بهتر طی عکس‌برداری نمونه‌ها به مدت پنج دقیقه با لایه نازکی از طلا (ضخامت حدود 5 تا 6

2. Attenuated total reflectance-Fourier transform infrared spectroscopy

3. Thermogravimetric Analyzer

1. Scanning electron microscope

دستگاهی و هدایت الکتریکی در درجه دوم اهمیت می‌باشد. داده‌های حاصل از اندازه‌گیری ویسکوزیته ظاهری محلول پلی‌وینیل کل (8 درصد) و نسبت‌های اختلاط غلظت‌های مختلف صمغ گیاه آزیوش (2/5 و 3 گرم بر لیتر) با پلی‌وینیل کل (30:70، 40:60، 50:50، 100:0) در شکل 1 نشان داد شده است. نتایج جدول 1 نشان داد به طور کلی اثر غلظت صمغ، نسبت اختلاط و اثرات متقابل غلظت صمغ و نسبت اختلاط بر تغییرات ویسکوزیته معنی‌دار است ( $P<0.01$ ).

### 3- نتایج و بحث

#### 3-1-3- ویژگی محلول‌های تشکیل‌دهنده الیاف الکتروریسی حاصل از صمغ گیاه آزیوش و پلی‌وینیل کل

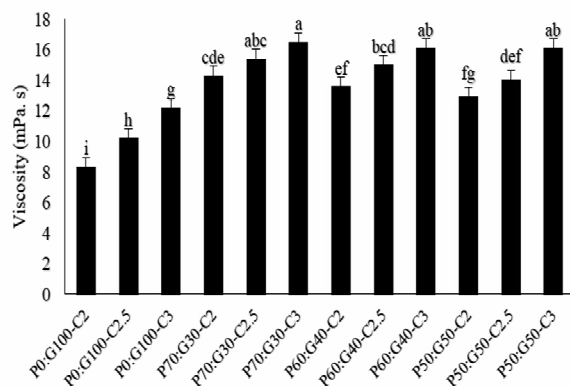
##### 3-1-3-1- ویسکوزیته ظاهری

برای موفقیت در فرایند الکتروریسی، ویژگی‌های محلول شامل غلظت و رفتار رئولوژیکی در درجه اول اهمیت و متغیرهای

**Table 1** Individual and interaction effects of concentration and mixing ratio on viscosity changes

Pr > F	F Value	Mean Square	Type III SS	DF	Source
<.0001	343.02	0.16402692	0.49208075	3	a
<.0001	175.76	0.00152100	0.00304200	2	b
<.0001	3.62	0.00036567	0.00219400	6	a*b

a: The ratio of the mixture of gum and polyvinyl alcohol and b: the concentration of Azivash gum



**Fig 1** Viscosity of azivash leaf gum at different concentrations (2, 2.5 and 3 g/l) mixing with different portions of polyvinyl alcohol. Different letter indicate significant differences between formulations ( $P<0.05$ ).

Where P is polyvinyl alcohol, G is Azivash leaf gum and C is concentration of Azivash leaf gum.

به طور کلی، با افزایش نسبت پلی‌وینیل کل در اختلاط با صمغ و نیز افزایش غلظت صمغ ویسکوزیته محلول‌های پلیمری افزایش یافت (شکل 1). به طور مشابه سوزا و همکاران (2015) دریافتند افزودن پلی‌وینیل کل 10 درصد سبب بهبود ویژگی‌های ویسکوالاستیک و قابلیت الکتروریسی محلول صمغ آگار 1 درصد گردید [16]. بهترین نانوالیاف شامل 70:30 پلی‌وینیل کل به صمغ انتخاب شد و نسبت‌های بالاتر صمغ در اختلاط با پلی‌وینیل کل (50:50 و

ویسکوزیته محلول پلی‌وینیل کل (در غلظت 8 درصد) در پژوهش حاضر  $\pm 0.36 \text{ mPa s}$  میلی‌پاسکال ثانیه تعیین شد. محلول پلی‌وینیل کل به تنهایی به دلیل غلظت بالا از ویسکوزیته بالاتری نسبت به محلول‌های صمغ برخوردار است [11]. سوزا و همکاران (2015) بیان کردند که با افزودن غلظت پلی‌وینیل کل (بیشتر از 5 درصد) به محلول صمغ آگار فرایند الکتروریسی الیاف تسهیل می‌شود [16]. مقایسه معنی‌داری ویسکوزیته تیمارهارا روی شکل 1 نشان داده است. ویسکوزیته محلول آبی صمغ گیاه آزیوش (بدون پلی‌وینیل کل، نسبت اختلاط 100:0) با افزایش غلظت صمغ از 8/23 میلی‌پاسکال ثانیه در نمونه‌ای با غلظت 2 گرم بر لیتر صمغ (P0:G100-C2) به 12/1 میلی‌پاسکال ثانیه در نمونه‌ای با غلظت 3 گرم بر لیتر صمغ (P0:G100-C3) روند صعودی داشت. یامازاکی و همکاران (2009) در بررسی ویژگی رئولوژی محلول آبی هیدروکلوبید گیاه آزیوش در غلظت 0/25 در دمای محیط میزان ویسکوزیته 80 میلی‌پاسکال ثانیه را گزارش داشتند [11]. تفاوت در نتایج می‌تواند به شرایط استخراج متفاوت صمغ با پژوهش حاضر باشد. صمغ‌ها به طور ذاتی از وزن مولکولی و ویسکوزیته بالایی برخوردارند و عموماً در غلظت‌های نسبتاً پایین قابلیت کاربرد و اختلاط با سایر پلیمرها را دارند [22].

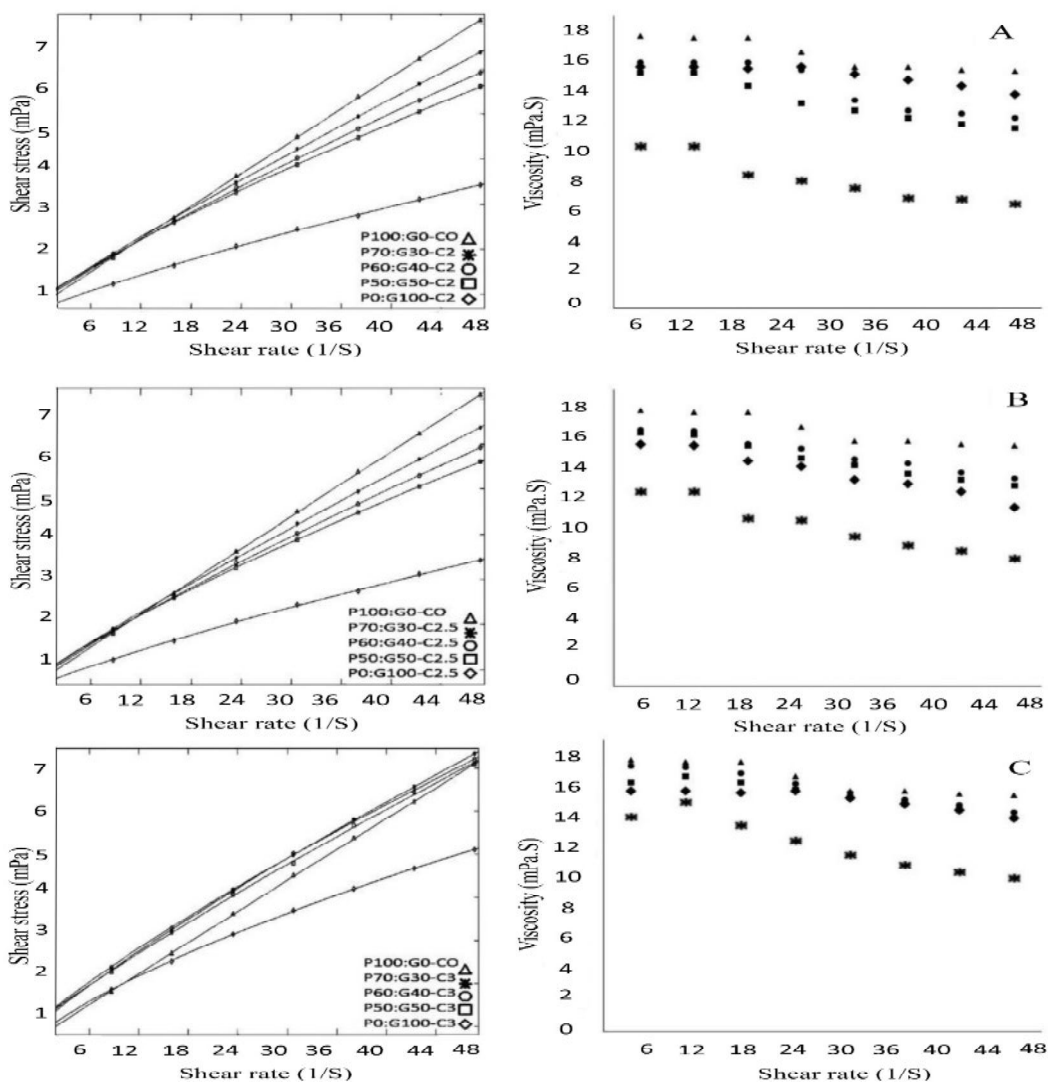
داده‌های حاصل از ضریب قوام برآش شده توسط مدل هرشل-بالکلی در پژوهش حاضر نشان داد که افزایش غلظت صمغ از 2 گرم بر لیتر به 3 گرم بر لیتر سبب افزایش ضریب قوام از 0/322 به 0/1871 میلی‌پاسکال ثانیه در نسبت 70:30 پلی‌وینیل الكل به صمغ آزیوش، 0/254 به 0/359 میلی‌پاسکال ثانیه در نسبت 60:40 پلی‌وینیل الكل به صمغ آزیوش، 0/293 به 0/26 میلی‌پاسکال ثانیه در نسبت 50:50 پلی‌وینیل الكل به صمغ آزیوش و 0/156 به 0/4855 میلی‌پاسکال ثانیه در نسبت 100:0 پلی‌وینیل الكل به صمغ آزیوش، شد (جدول 2).

پارامترهای رئولوژیکی حاصل از برآش مدل قانون توان داده‌های تجربی تنش برشی به نرخ برشی صمغ آزیوش در اختلاط با پلی وینیل الكل نشان دادکه افزایش نسبت صمغ در ترکیب محلول تشکیل دهنده نانوالیاف سبب کاهش اندیس جریان به ترتیب از 0/8294 به 0/7332 در محلول آبی صمغ با غلظت 3 گرم بر لیتر، 0/977 به 0/8426 در صمغ 2/5 گرم بر لیتر و در صمغ 2 گرم بر لیتر سبب کاهش از 0/8679 به 0/8279 گردید. داده‌های حال از ضریب قوام برآش شده توسط این مدل نشان داد که افزایش غلظت صمغ از 2 گرم بر لیتر به 3 گرم بر لیتر سبب افزایش ضریب قوام از 0/2172 به 0/2915 میلیپاسکال ثانیه در نسبت 70:30 پلی وینیل الكل به صمغ آزیوش، 0/2304 به 0/3291 میلیپاسکال ثانیه در نسبت 40:60 پلی وینیل الكل به صمغ آزیوش، 0/2616 به 0/2985 میلیپاسکال ثانیه در نسبت 50:50 پلی وینیل الكل به صمغ آزیوش و 0/2978 میلیپاسکال ثانیه در نسبت 100:0 پلی وینیل الكل به صمغ آزیوش شد.

پارامترهای رئولوژیکی حاصل از برازش مدل کاسون داده‌های تجربی نش برشی به نرخ برشی صمغ آزیوش در اختلاط با پلی وینیل الكل نیز نشان داد که افزایش غلظت صمغ از 2 گرم بر لیتر به 3 گرم بر لیتر سبب افزایش ویسکوزیته کاسون از 0/0348 میلیپاسکال ثانیه در نسبت 70:30 پلی وینیل کل به صمغ آزیوش، 1/092 به 1/303 میلیپاسکال ثانیه در نسبت 60:40 پلی وینیل الكل به صمغ آزیوش، 1/01 به 1/292 میلیپاسکال ثانیه در نسبت 50:50 پلی وینیل الكل به صمغ آزیوش و 0/5905 به 0/9096 میلیپاسکال ثانیه در نسبت 100:0 پلی وینیل الكل به صمغ آزیوش شد.

(60:40) قابلیت مناسب برای الکتروریسی و تولید نانوالیاف را نداشتند. بر خلاف نتایج این تحقیق کورد و همکاران (2017) در بررسی ویسکومتری محلول صمغ بذر ریحان 2 درصد با پلی وینیل الكل 10 درصد نشان دادند با افزایش نسبت حجمی پلی وینیل الكل، ویسکوزیته کاهش یافت [14]. همچنین اثرات کاهشی ویسکوزیته تحت تأثیر نسبت حجمی پلی وینیل الكل در پژوهش های فهامی و فتحی (2018) پیرامون صمغ شاهی 3 درصد در ترکیب با پلی وینیل الكل 10 درصد و ایسلام و کریم (2010) در مورد صمغ آذینات 2 درصد در ترکیب با پلی وینیل الكل 10 درصد گاراش شد [7, 15].

1-1-1-3- مدل سازی ویسکوزیته و رفتار رئولوژیکی مواد تغییرات تشنج برشی - نرخ برشی (کرنش) محلول های صمغ آزی و ش و پلی وینیل الکل در شکل 2 اورده شده است. همان طور که دیده می شود رفتار سیلانی رقیق شونده با بر ش کاملاً مشهود است. رئولوژی محلول های تشکیل دهنده الیاف نشان داد که افزودن صمغ به پلی وینیل الکل سبب تغییر رفتار از نیوتونی به سودوپلاستیک شد (شکل 2). همچنین تغییرات ویسکوزیته در نرخ های برشی مختلف مؤید این رفتار می باشد (شکل 2). به طور کلی، توصیف ویسکوزیته محلول پلیمری با استفاده از مدلی مناسب، فهم بهتری از رفتار محلول های پلیمری طی الکترورسی را امکان پذیر می سازد [16]. به این منظور، در پژوهش حاضر داده های ویسکوزیته با سه مدل قانون توان، هرشل بالکلی و کاسون برآش داده شدند. پارامترهای رئولوژیکی حاصل از برآش مدل هرشل-بالکلی داده های تجربی تشنج برشی به نرخ برشی صمغ آزی و ش در اختلاط با پلی وینیل الکل نشان داد که افزایش نسبت صمغ در ترکیب محلول تشکیل دهنده نانو الیاف سبب کاهش ان迪س جریان به ترتیب از 0/8071 به 0/6286 در صمغ 3 گرم بر لیتر، 0/8585 به 0/7211 در صمغ 2/5 گرم بر لیتر و در صمغ 2 گرم بر لیتر سبب کاهش از 0/9019 به 0/7832 گردید. صالحی و همکاران (2014) ان迪س جریان صمغ بالنگو استخراج شده و خشک شده با روش های مختلف و برآش شده با مدل هرشل-بالکلی را بین 0/85 به 0/21 گزارش کردند [24]. همچنین در تحقیقات مارکوتی و همکاران (2001) و سانگ و همکاران (2006) شاخص ان迪س جریان برای صمغ زانتان را به ترتیب 0/23 و 0/023 گزارش شد [25, 26].



**Fig 2** Rheogram of azivash leaf gum at different concentrations (2, 2.5 and 3 g/l) mixing with different portions of polyvinyl alcohol. Curve illustrate shear stress versus shear rate(right) and viscosity to shear rate (left).

Where P is polyvinyl alcohol, G is Azivash leaf gum and C is concentration of Azivash leaf gum.

**Table 2** The parameters related to Herschel-Bulkley model to rheological behavior different blended polymer solutions at concentrations 3, 2.5 and 2 g/l of gums.

RMSE	Adj- R <sup>2</sup>	R <sup>2</sup>	SSE	n	K (mPa.s <sup>n</sup> )	PVOH:G-C
0.0256	0.9999	0.9999	0.003276	1	0.1508	100:0
0.0256	0.9999	0.9999	0.003276	0.9019	0.1871	70/30-2
0.01806	0.9999	0.9999	0.00163	0.9208	0.2544	60/40-2
0.02188	0.9998	0.9999	0.002394	0.8221	0.26	50/50-2
0.009126	0.9999	0.9999	0.0004164	0.7832	0.1567	0/100-2
0.01983	0.9999	0.9999	0.001966	0.8585	0.2418	70:30-2.5
0.01682	0.9999	0.9999	0.001414	0.8465	0.2652	60:40-2.5
0.1137	0.996	0.9971	0.0646	0.8129	0.1627	50:50-2.5
0.03004	0.9993	0.9995	0.004512	0.7211	0.2572	0/100-2.5
0.01785	0.9999	0.9999	0.001592	0.8071	0.322	70:30-3
0.03256	0.9997	0.9998	0.0053	0.7743	0.3599	60:40-3
0.04334	0.9995	0.9997	0.009393	0.7632	0.293	50:50-3
0.01076	0.9999	0.9999	0.0005787	0.6286	0.4855	0:100-3

Where K is the consistency coefficient (Pa.sn),  $\tau_0$  is the yield stress (Pa), and n is the flow behavior.

PVOH:BG-C: Polyvinyl alcohol:Gum/Concentration of gum.

( $R^2$ ) و کمترین ریشه میانگین انحراف مربع RMSE (جدول 3) مدل بهینه جهت برآش داده‌های تجربی تنش برشی به نرخ برشی بود.

بر اساس گزارش محققان قبلی کاهش ویسکوزیته و ضرب قوام صمع‌ها تحت افزایش نرخ برشی به دلیل کاهش برهمکنش زنجیره مولکول‌ها است [24]. بر مبنای مجموع نتایج حاصل مدل هرشل- بالکلی با بالاترین ضرب همبستگی

**Table 3**  $R^2$  / RMSE value for different rheological models for different gum ratios to polyvinyl alcohol

P100:G0-C2	P70:G30-C2	P60:G40-C2	P50:G50-C2	P0:G100-C2	Treatment model
40.64	39.72	43.24	67.88	38.36	Power-Law
39.05	55.36	45.69	109.57	43.61	
3.11	4.39	6.03	7.87	11.97	
P100:G0-C2.5	P70:G30-C2.5	P60:G40-C2.5	P50:G50-C2.5	P0:G100-C2.5	Treatment model
40.64	48.75	58.81	8.7	36.41	
39.05	50.42	59.44	8.76	33.27	
P100:G0-C0	P70:G30-C3	P60:G40-C3	P50:G50-C3	P0:G100-C3	Treatment model
40.64	46.07	31	22.72	35.11	
39.05	56.01	30.70	23.06	92.93	
3.11	5.03	5.70	4.56	17.35	casson

The ratio of polyvinyl alcohol (P), gum ratio (G) and gum concentration in grams per liter (C)

آن‌ها در الکتروریسی رایج است هدایت‌هایی بسیار کم، حتی کمتر از آب مقطر دارند؛ اما معمولاً در اثر انحلال پلیمر در حال، هدایت محلول به علت دسترسی به اجزاء یونی هادی که غالباً ناشی از ناخالصی‌ها یا افروزنده‌های موجود در پلیمر است افزایش می‌یابد. محلول‌های پلیمری با وزن مولکولی و هدایت الکتریکی فراتر از حد آستانه مورد نیاز جهت فرایند الکتروریسی قابلیت تولید الیاف با قطر مناسب را ندارند، درحالی‌که در محلول‌های پلیمری با هدایت الکتریکی بالا حتی در غلظت پایین کشیدگی بیشتر و در نتیجه کاهش قطر الیاف الکتروریسی مشاهده می‌شود [27]. نتایج جدول 4 نشان داد به طور کلی اثر غلظت صمغ، نسبت اختلاط و اثرات متقابل غلظت صمغ و نسبت اختلاط بر تغییرات هدایت الکتریکی معنی‌دار ( $p < 0.01$ ) است.

### 1-2-3- هدایت الکتریکی محلول‌های تشکیل دهنده نانوالیاف

عوامل مؤثر بر تولید نانوالیاف الکتروسپان به دو دسته طبقه‌بندی می‌شوند که شامل پارامترهای مؤثر بر جرم پلیمر تزریق شده (غلظت پلیمر، ولتاژ اعمالی و شدت جریان حجمی) و پارامترهای مؤثر بر نیروی الکتروریسی در طی فرایند (مانند هدایت الکتریکی حلال‌ها) هستند. در بین عوامل مؤثر بر تولید الیاف ظریف و پیوسته حاصل از فرایند الکتروریسی غلظت پلیمر، وزن مولکولی و هدایت الکتریکی محلول نقش تعیین‌کننده دارند [4].

حداقل هدایت الکتریکی محلول برای الکتروریسی ضروری است. در واقع محلول‌هایی که هدایت الکتریکی آن‌ها صفر است نمی‌توانند الکتروریسی شوند. حالاتی که استفاده از

**Table 4** Individual and interaction effects of concentration and mixing ratio on electrical conductivity changes

Pr > F	F Value	Mean Square	Type III SS	DF	Source
<.0001	23714.7	164026.9167	492080.7500	3	a
<.0001	219.90	1521.0000	3042.0000	2	b
<.0001	52.87	365.6667	2194.0000	6	a*b

a: The ratio of the mixture of gum and polyvinyl alcohol and b: the concentration of Azivash gum.

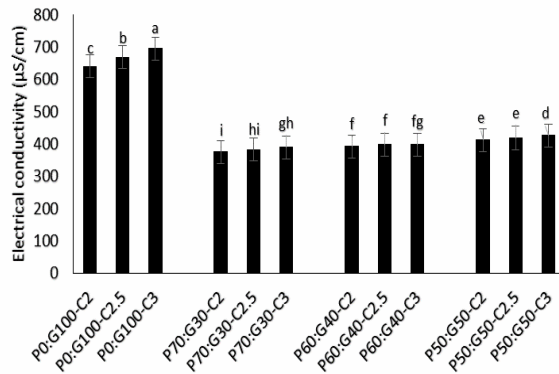
سبب افزایش هدایت الکتریکی از 754 میکروزیمنس بر سانتی‌متر (مونه پلی‌وینیل خالص) به 1900 میکروزیمنس بر سانتی‌متر (نسبت 80 به 20 پلی‌وینیل الكل به صمغ بذر ریحان) شد [14].

در این پژوهش هدایت الکتریکی پلی‌وینیل الكل  $367 \pm 1/73$  به دست آمد. با افزایش غلظت صمغ هدایت الکتریکی از 639 میکروزیمنس بر ثانیه (صمغ آزیوش با غلظت 2 گرم بر لیتر) به 694 میکروزیمنس بر ثانیه (صمغ آزیوش با غلظت 3 گرم بر لیتر) افزایش یافت (شکل 3).

### 2-3- ریزنگاشت میکروسکوپ الکترونی

#### روبشی الیاف الکتروریسی صمغ گیاه آزیوش

نسبت‌های مختلف اختلاط پلی‌وینیل الكل با صمغ (P50:G50, P60:G40, P70:G30) به همراه غلظت‌های مختلف صمغ برگ گیاه آزیوش (C3, C2.5, C2) تحت الکتروریسی در شرایط ثابت دستگاهی که از طریق پیش‌آزمون حاصل گردید<sup>1</sup> قرار گرفت. نتایج الکتروریسی در پژوهش حاضر نشان داد صرف‌نظر از نسبت اختلاط با افزایش غلظت صمغ (یویژه  $\geq 2/5$  گرم بر لیتر) از تشکیل جت (مخروط تیلور) مناسب جلوگیری شد و محلول‌های پلیمری به صورت قطره روی فویل در بخش جمع‌کننده دستگاه ظاهر شدند. سوزا و همکاران (2015) بیان کردند صمغ آکار در غلظت 1 درصد به‌نهایی تشکیل ژل داده و قابلیت خروج از سوزن در طی الکتروریسی را ندارد. در پژوهش حاضر افزایش نسبت اختلاط صمغ به پلی‌وینیل الكل نیز سبب تشکیل قطره در هنگام الکتروریسی شد [16]. در نسبت‌های 50:50 و 40:60 پلی‌وینیل الكل به صمغ آزیوش الکترواسپری و الکتروریسی (مخلوط گویچه و الیاف) هم‌زمان در غلظت 2 گرم بر لیتر صمغ رخ داد. این موضوع می‌تواند ناشی از درهم‌تنیدگی ناکافی باشد که در نتیجه ناپایداری مخروط تیلور و عدم تشکیل جت در طی الکتروریسی مشاهده شد [16]. در این پژوهش تنها در نسبت اختلاط P70:G30-C2 الکتروریسی موفق صمغ آزیوش حاصل شد که نتایج ریزنگاشت میکروسکوپ الکترونی نیز



**Fig 3** Electrical conductivity of azivash leaf gum at different concentrations (2, 2.5 and 3 g/l) mixing with different portions of polyvinyl alcohol. Different letter indicate significant differences between formulations ( $P<0.05$ ).

پلیمرهای گیاهی و جانوری پلی‌الکتروولیت هستند و هر موئونر به گروه‌های باردار متصل است. توانایی تشکیل یون در محلول باعث افزایش هدایت الکتریکی محلول پلیمری می‌شود [28]. بر اساس نتایج پژوهش حاضر (شکل 3) صرف‌نظر از میزان غلظت صمغ آزیوش با افزایش نسبت صمغ به پلی‌وینیل الكل نیز هدایت الکتریکی افزایش معنی‌داری یافت ( $P<0.05$ ). صمغ‌هایی مانند آزیوش هیدرولوکوپیدهای آنیونی هستند و هدایت الکتریکی محلول‌ها را افزایش می‌دهند. رضایی و همکاران (2016) نتایج مشابهی را در مورد هدایت الکتریکی صمغ بادام در ترکیب با پلی‌وینیل الكل به دست آورده‌اند [13]. این محققین گزارش نمودند که افزایش صمغ سبب افزایش هدایت الکتریکی شد. به‌طور کلی هدایت الکتریکی محلول‌ها تحت تأثیر نوع پلیمر، حالل و وجود نمک‌های یونیزه شده در آن است [7]. بهطور مشابه کورد و همکاران (2017) بیان کردند افزایش نسبت اختلاط صمغ ریحان با پلی‌وینیل الكل

1. ولتاژ 18 کیلوولت، فاصله 12 سانتی‌متر و شدت جریان حجمی 0/7 میلی‌لیتر بر ساعت

داد. با کاهش ویسکوزیته، تحرک زنجیره‌های پلیمری به دلیل بهبود جهتگیری مولکولی افزایش می‌یابد و الکتروریسی تسهیل می‌گردد [30]. غلظت محلول پلیمری و ویسکوزیته مؤثرترین معنیرها برای کنترل مورفولوژی الیاف هستند [28, 31]. پلیمر مناسب برای تشکیل الیاف با استفاده از دستگاه الکتروریسی پلیمری است که حداقل ویسکوزیته لازم برای تشکیل جت در هنگام فرایند را داشته باشد یا به عبارت دیگر غلظت بهینه پلیمر اجازه تشکیل جت و تولید الیاف را بدهد [32]. در پایین‌تر از ویسکوزیته بهینه گویچه شکل می‌گیرد و با افزایش ویسکوزیته شاهد تشکیل مدام الیاف هستیم؛ اما افزایش بیشتر از این حد ویسکوزیته مانع از فرایند الکتروریسی می‌شود. در غلظت‌های کم پلیمری، تشکیل شبکه الیاف به طور ناپیوسته از زنجیره‌های پلیمری ایجاد می‌شود و با افزایش غلظت پلیمر، مخلوط گویچه و الیاف به دست می‌آید. با این حال، غلظت پلیمر فراتر از حد آستانه نمی‌تواند افزایش یابد، زیرا افزایش ویسکوزیته باعث جلوگیری از فرایند الکتروریسی پیوسته می‌شود [33].

مورفولوژی سطحی و همچنین تصاویر میکروسکوپ الکترونی روشی نشان داد که P70:G30-C2 مناسب‌ترین فرمولاسیون پیشنهادی جهت تولید الیاف از طریق فرایند الکتروریسی است.

نشانگر شکل‌گیری الیاف فاقد گویچه در این نسبت اختلاط است (شکل 4). پلی‌وینیل کلریکل به دلیل فراوانی گروه‌های هیدروکسیل با ایجاد پیوند هیدروژنی بین مولکولی با صمنع مانع از درهم‌تنیدگی‌های بین مولکول‌های صمنع شده و این موضوع به تغییر سریع‌تر حلال در طی حرکت جت از سوزن تا جمع‌کننده و شکل‌گیری الیاف کمک می‌کند [29]. سوزن و همکاران (2015) گزارش دادند در نسبت‌های اختلاط بالای 70 درصد پلی‌وینیل کلریکل به دلیل افزایش نسبت مولکول‌های تولید شده به طور معنی‌داری بهبود یافت که به دلیل افزایش ویسکوزیته در نرخ برشی ثابت بود. با افزایش بیشتر ویسکوزیته تحت تأثیر پلی‌وینیل کلریکل تولید الیاف قدرت‌تر شده و این افزایش به دلیل تغییر حلال در طی فرایند پرتاب محلول به سمت جمع‌کننده است [16]. همان‌طور که اشاره شد در پژوهش حاضر صمنع آزیوش در غلظت 2 گرم بر لیتر با ویسکوزیته 8/23 میلی پاسکال ثانیه فاقد الکتروریسی موفق بود. در همین غلظت با افزایش نسبت پلی‌وینیل کلریکل به محلول صمنع (70:30) ویسکوزیته به 14/2 میلی پاسکال ثانیه افزایش یافت و الیاف فاقد گویچه (شکل 4) شکل گرفتند. با افزایش غلظت صمنع آزیوش (2/5 گرم بر لیتر) با وجود ویسکوزیته بالاتر (16/4 میلی پاسکال ثانیه) الکتروراسپری رخ

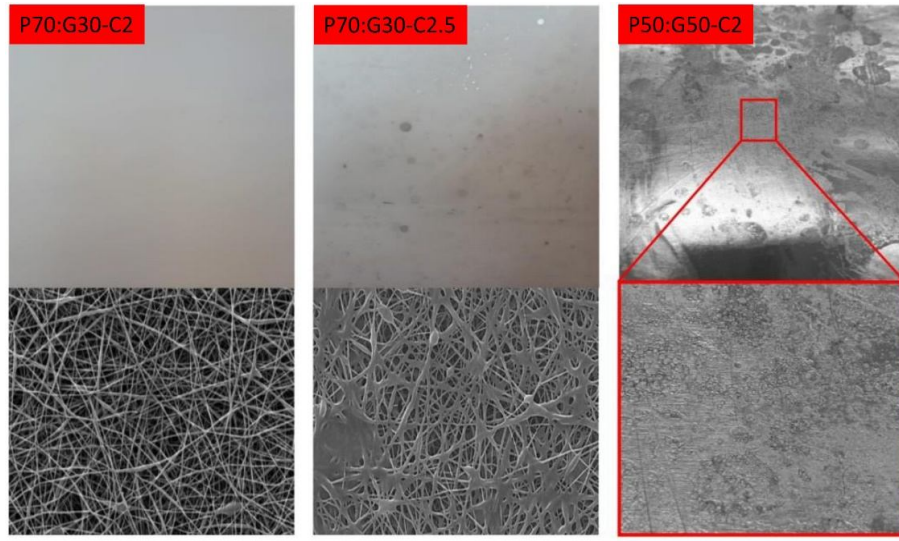


Fig 4. Effect of different mixing portion of polyvinyl alcohol with Azivash leaf gum on morphological properties of nanofibers

$\text{H}_3\text{C}-\text{H}_2\text{O}$  در کربن شماره شش واحدهای قندی است [13]. پیکهای ناحیه  $3100 \text{ cm}^{-1}$  به دلیل ارتعاشات کششی  $\text{O}-\text{H}$  در ساختار صمغ است که توسط پیوندهای هیدروژنی بین و درون مولکولی ایجاد می‌شود. به طور کلی دو پیک مذکور از گروههای عاملی شاخص در ساختار صمغ محاسبه می‌شوند. تغییر در پیکهای گروههای عاملی اصلی به دلیل برهمکنش پلیمرها است [34].

همان‌طور که در شکل 4-14 نشان داده شده است شدت باندها در ناحیه بین  $784 \text{ cm}^{-1}$  تا  $907 \text{ cm}^{-1}$  در هنگام افزودن صمغ به پلی‌وینیل الکل افزایش یافت. در نانوالیاف الکتروریسی  $\text{cm}^{-1}$  صمغ آزی وش-پلی‌وینیل الکل شدت باندها در ناحیه  $1309-1212$  به دلیل ارتعاشات گلیکوزیدی  $\text{C}-\text{O}-\text{C}$  و باندهای  $\text{O}-\text{C}-\text{H}$  ناشی از حضور صمغ افزایش یافت.

### 4-3 گرما سنجی وزنی

گرما سنجی وزنی نانوالیاف P70:G30-C2 الکتروریسی صمغ آزی وش-پلی‌وینیل الکل، نانوالیاف پلی‌وینیل الکل و پودر صمغ آزی وش در شکل 6 مشاهده می‌گردد. بر اساس ترموگرامها سه مرحله اصلی در نمونه‌ها مشاهده شد. افت وزنی در مرحله اول فرایند حرارتی به دلیل حذف رطوبت و سایر ترکیبات فرار از نمونه می‌باشد [23, 35].

به دنبال مرحله اول فرایند حرارتی (دهیدراسیون حرارتی)، مرحله دوم (شروع تخریب حرارتی) شروع شد که میزان تخریب حرارتی در دمای  $280$  درجه سانتی‌گراد نانوالیاف  $81$  درصد و صمغ آزی وش در اختلاط با پلی‌وینیل الکل حدود  $63$  در پودر صمغ آزی وش به  $63$  درصد وزن اولیه رسید. در نمونه نانوالیاف الکتروریسی پلی‌وینیل الکل این مرحله در دمای  $338$  درجه سانتی‌گراد شروع شد و میزان تخریب حرارتی به  $92/63$  درصد وزن اولیه رسید.

مرحله سوم تخریب حرارتی (مرحله انتهاي) در نانوالیاف الکتروریسی صمغ آزی وش در دمای حدود  $348$  درجه سانتی‌گراد شروع شد. افت وزنی در این مرحله به دلیل دپلیمریزاسیون زنجیره‌های P70:G30-C2 است. در این شرایط وزن نمونه‌های الیاف آزی وش در اختلاط با پلی‌وینیل الکل به  $25$  درصد وزن اولیه رسید. در نانوالیاف الکتروریسی پلی‌وینیل الکل مرحله سوم در دمای  $529$  درجه سانتی‌گراد شروع شد و میزان تخریب حرارتی به  $22/16$  درصد وزن اولیه

### 3-3- طیف‌سنجدی مادون قرمز تبدیل

#### فوریه

طیف‌سنجدی مادون قرمز تبدیل فوریه به منظور شناسایی اتصالات شیمیابی در مولکول پلی‌وینیل الکل، پودر صمغ آزی وش و بررسی هرگونه تغییرات ساختمنی طی الکتروریسی و برهمکنش بین صمغ برگ گیاه آزی وش و پلی‌وینیل الکل انجام شد (شکل 5).

گروههای هیدروکسیل (H-O) در مولکول پلی‌وینیل الکل در ناحیه  $3276 \text{ cm}^{-1}$  آشکار شدند. کشش‌های متقارن و غیرمتقارن  $\text{CH}_2$  به ترتیب با باندهای  $2942 \text{ cm}^{-1}$  و  $2864 \text{ cm}^{-1}$  منطقه هستند. پیک  $1166 \text{ cm}^{-1}$  به دلیل کشیدگی گروههای استات و  $818 \text{ cm}^{-1}$  به دلیل ارتعاشات C-C در ساختار آشکار شدند. یافته‌های مشابهی برای پلی‌وینیل الکل در برخی تحقیقات گزارش شد [22]. در پودر صمغ آزی وش پیک‌های ناحیه  $1602 \text{ cm}^{-1}$  مربوط به کشیدگی متقارن کربوکسیل و پیک‌های  $1023 \text{ cm}^{-1}$  و  $1416 \text{ cm}^{-1}$  مربوط به کشیدگی متقارن گروههای O-C اروینیک اسید است. پیک‌های ناحیه  $900-1250 \text{ cm}^{-1}$  به دلیل ارتعاشات C-O-C، O-C-O می‌باشد. پیک پیوند گلیکوزیدی و پیوندهای H-O-C می‌باشد. پیک ناحیه  $1732 \text{ cm}^{-1}$  به دلیل کشیدگی متقارن OO-C گروه استیل و کربوکسیلیک است که شاخص حضور اسید اروینیک و کربوکسیلیک در ساختار صمغ می‌باشد.

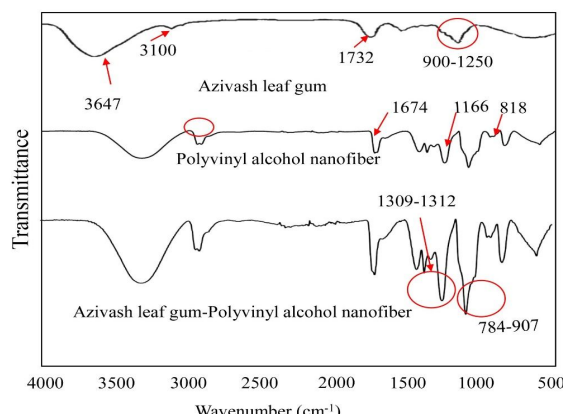


Fig 5 Fourier-transform infrared spectroscopy of electrospun azivash leaf gum-polyvinyl alcohol nanofibers

پیک مشاهده شده در عددموجی  $2992 \text{ cm}^{-1}$  مربوط به اتصالات C-H با ارتعاشات کششی شامل C-H-C.

افزایش یافته و شروع تخریب حرارتی در زمان طولانی‌تری اتفاق می‌افتد. نتایج پژوهش حاضر نشان داد که می‌توان از صمغ برگ گیاه آزیوش به طور موافقیت آمیزی در تولید نانوالیاف به روش الکتروریسی استفاده نمود. نانوالیاف تولید شده قابل بکارگیری جهت ریزپوشانی و انتقال ترکیبات زیست فعال و یا تولید بسته‌بندی فعال می‌باشد.

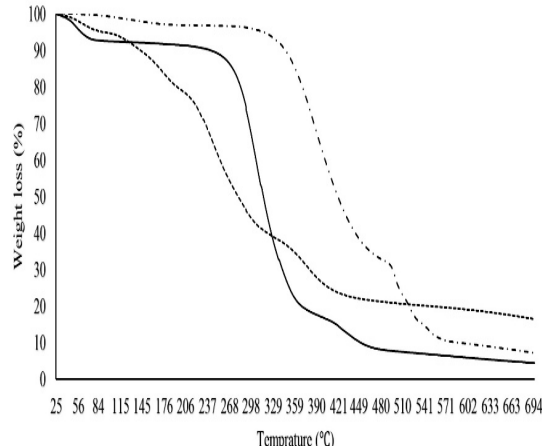
## 5- تشك و قدردانی

از دانشگاه علوم کشاورزی و منابع طبیعی گرگان که با فراهم آوردن امکانات تحقیق و حمایت‌های علمی ما را یاری کردند، سپاسگزاری می‌گردد.

## 6- منابع

- [1] Jafari, S. M. (2017). An overview of nanoencapsulation techniques and their classification, Chapter 1 In: Nanoencapsulation Technologies for the Food and Nutraceutical Industries, Jafari, S.M (Editor): Academic Press
- [2] McCann, J.T., Li,D.,&Xia,Y. (2015). Electrospinning of nanofibers with core-sheath, hollow, or porous structures. *Journal of Materials Chemistry*, 15(7): p. 735-738.
- [3] Kriegel, C., Arrechi, A., Kit, K., McClements, D., & Weiss, J.(2008). Fabrication, functionalization, and application of electrospun biopolymer nanofibers. *Critical reviews in food science and nutrition*. 48(8): p. 775-797.
- [4] Ramakrishna, S.(2005). An introduction to electrospinning and nanofibers.: World Scientific.
- [5] Kanafchian, M., Valizadeh, M., &Haghi, A. K. (2011). Electrospun nanofibers with application in nanocomposites. *Korean Journal of Chemical Engineering*. 28(2): p. 428-439.
- [6] Ghorani, B., &Tucker,N. (2015). Fundamentals of electrospinning as a novel delivery vehicle for bioactive compounds in food nanotechnology. *Food Hydrocolloids*. 51: p. 227-240.
- [7] Fahami, A., & Fathi,M. (2018). Fabrication and characterization of novel nanofibers from cress seed mucilage for food applications. *Journal of Applied Polymer Science*. 135(6): p. 45811.

رسید. در تولید نانوالیاف صمغ برگ گیاه آزیوش در حضور پلی‌وینیل الکل پایداری حرارتی افزایش یافته و شروع تخریب حرارتی در زمان طولانی‌تری اتفاق می‌افتد.



**Fig 6** Thermal gravimetry of electrospun azivash leaf gum- polyvinyl alcohol nanofibers  
Azivash leaf gum (.....), Polyvinyl alcohol nanofiber (-.-.-) and Polyvinyl alcohol nanofiber mixing with Azivash leaf gum P70:G30-C2 (—).

## 4- نتیجه‌گیری

در پژوهش حاضر شرایط نسبت اختلاط و غلظت مناسب صمغ برگ گیاه آزیوش (*Corchorus olitorius L.*) به عنوان منبع پلی‌ساقاریدی با پلی‌وینیل الکل به منظور تولید نانوالیاف بررسی شد. سه مدل هرشل بالکلی، مدل قانون توان و مدل کاسون جهت برآش داده‌های رئولوژیکی مورد استفاده قرار گرفتند و مدل هرشل بالکلی با بیشترین میزان  $R^2/RMSE$  جهت برآش داده‌های رئولوژیکی انتخاب گردید. اثر غلظت صمغ و نسبت آن به پلی‌وینیل الکل بر ویژگی‌های محلول بیوپلیمرها معنی دار بود (p<0.01). با افزایش غلظت صمغ و همچنین افزایش نسبت آن به پلی‌وینیل الکل ویسکوزیته و هدایت الکتریکی محلول پلیمری افزایش یافت. مورفولوژی سطحی و همچنین تصاویر میکروسکوپ الکترونی روبشی نمونه‌های حاصل از الکتروریسی محلول‌های پلیمری نشان داد که محلول الکتروریسی حاوی 70 درصد پلی‌وینیل الکل، 30 درصد صمغ با غلظت 2 گرم بر لیتر مناسب‌ترین فرمولاسیون پیشنهادی جهت تولید نانوالیاف از طریق فرایند الکتروریسی است. در تولید نانوالیاف صمغ برگ گیاه آزیوش در حضور پلی‌وینیل الکل پایداری حرارتی

- [17] Padil, V.V.T., Senan, C., Wacławek, S., & Lerník, M. (2016). Electrospun fibers based on Arabic, karaya and kondagugu gums. *International journal of biological macromolecules*. 91: p. 299-309.
- [18] Torres-Giner, S., Martínez - Abad, A., Ocio, M.J., & Lagaron, J.M. (2010). Stabilization of a nutraceutical omega - 3 fatty acid by encapsulation in ultrathin electrosprayed zein prolamine. *Journal of food science*, 2010. 75(6): p. N69-N79.
- [19] Mendes, A.C., Stephansen, K., & Chronakis, I.S. (2017). Electrospinning of food proteins and polysaccharides. *Food Hydrocolloids*. 68: p. 53-68.
- [20] Ghorani, B., Russell, S.J., & Goswami, P. (2013). Controlled morphology and mechanical characterisation of electrospun cellulose acetate fibre webs. *International Journal of Polymer Science*. 2013: p. 1687-9422.
- [21] Brummer, Y., Cui, W., & Wang, Q. (2003). Extraction, purification and physicochemical characterization of fenugreek gum. *Food hydrocolloids*. 17(3): p. 229-236.
- [22] Maghsoudlou, Y., Sabaghi, M., & Kashiri, M. (2018). Preparation and Characterization of a Biodegradable Film Comprising Polyvinyl Alcohol in Balangu Seed Gum. *Journal of Packaging Technology and Research*. p. 1-8..
- [23]. Varsha, C., Bajpai, S., & Navin, C. (2010). Investigation of water vapour permeation and antibacterial properties of nano silver loaded cellulose acetate film. *International Food Research Journal*. 17: p. 623-639.
- [24]. Salehi, F., & Kashaninejad, M. (2014). Effect of different drying methods on rheological and textural properties of Balangu seed gum. *Drying Technology*. 32(6): p. 720-727.
- [25]. Marcotte, M., Hoshahili, A.R.T., & Ramaswamy, H. (2001). Rheological properties of selected hydrocolloids as a function of concentration and temperature. *Food Research International*. 34(8): p. 695-703.
- [26] Song, K.-W., Kim, Y.-S., & Chang, G.-S. (2006). Rheology of concentrated xanthan gum solutions: steady shear flow behavior. *Fibers and Polymers*. 7(2): p. 129-138.
- [8] Stijnman, A.C., Bodnar, I., & Tromp, R.H. (2011). Electrospinning of food-grade polysaccharides. *Food Hydrocolloids*. 25(5): p. 1393-1398.
- [9] Xie, J.-H., Liu, X., Shen, M.-Y., Nie, S.-P., Zhang, H., Li, C., Gong, D., & Xie, M.-Y. (2013). Purification, physicochemical characterisation and anticancer activity of a polysaccharide from *Cyclocarya paliurus* leaves. *Food Chemistry*. 136(3-4): p. 1453-1460.
- [10] Kamkar, B., Gorzin, O., Khalili, N., & Ghorbani, M.-H. (2013). Determination of temperature-related parameters and response ranges of Almolookhiyeh (*Corchorus olitorius L.*) seeds and seedlings using nonlinear regression. *Journal of Agricultural Crops Production*. 17: p. 217-228.
- [11] Yamazaki, E., Kurita, O., & Matsumura, Y. (2009). High viscosity of hydrocolloid from leaves of *Corchorus olitorius L.* *Food hydrocolloids*. 23(3): p. 655-660.
- [12] Jannesari, M., Varshosaz, J., Morshed, M., & Zamani, M. (2011). Composite poly (vinyl alcohol)/poly (vinyl acetate) electrospun nanofibrous mats as a novel wound dressing matrix for controlled release of drugs. *International journal of nanomedicine*. 6: p. 993.
- [13]. Rezaei, A., Tavanai, H., & Nasirpour, A. (2016). Fabrication of electrospun almond gum/PVA nanofibers as a thermostable delivery system for vanillin. *International journal of biological macromolecules*. 91: p. 536-543.
- [14]. Kurd, F., Fathi, M., & Shekarchizadeh, H. (2017). Basil seed mucilage as a new source for electrospinning: Production and physicochemical characterization. *International journal of biological macromolecules*. 95: p. 689-695.
- [15] Islam, M.S., & Karim, M.R. (2010). Fabrication and characterization of poly(vinyl alcohol)/alginate blend nanofibers by electrospinning method. *Colloids and Surfaces A: Physicochemical and Engineering Aspects*. 366(1-3): p. 135-140.
- [16] Sousa, A.M., Souza, H.K.S., Uknalis, J., Liu, S.C., Gonçalves, M.P., & Liu, L. (2015). Improving agar electrospinnability with choline-based deep eutectic solvents. *International journal of biological macromolecules*. 80: p. 139-148.

- solvent, non-specific polymer-polymer interaction limit. *Polymer.* 46(10): p. 3372-3384.
- [33] Ghalandari, B., Divsalar, A., Komeili, A., Eslami-Moghadam, M., Saboury, A., &Parivar, K. (2015). Mathematical analysis of drug release for gastrointestinal targeted delivery using  $\beta$ -lactoglobulin nanoparticle. *Biomacromolecular Journal.* 1(2): p. 204-211.
- [34] Martins, J.T., Cerqueira, M.A., Bourbon, A.I., Pinheiro, A.C., Souza, B.W.S., & Vicente, A.A. (2012). Synergistic effects between  $\kappa$ -carrageenan and locust bean gum on physicochemical properties of edible films made thereof. *Food Hydrocolloids.* 29(2): p. 280-289.
- [35] Shahiri-Tabarestani, H.(2015). E-spun cellulose acetate nanofiber containing a herbal-froriepia subpinnate-extract/ white-cheek shark (*Carcharhinus dussumieri*)fish skin gelatin nanocomposite edible flms: Fabrication, structure and characteristics. phD Thesis, Ferdowsi University of Mashhad (FUM).
- [27] Tan, S., Inai, R., Kotaki, M., & Ramakrishna, S. (2005). Systematic parameter study for ultra-fine fiber fabrication via electrospinning process. *Polymer.* 46(16): p. 6128-6134.
- [28] Zong, X., Kim, K., Fang, D., Ran, S., Hsiao, B.s., &Chu, B. (2002). Structure and process relationship of electrospun bioabsorbable nanofiber membranes. *Polymer.* 43(16): p. 4403-4412.
- [29] Kessick, R. &Tepper,G. (2004). Microscale polymeric helical structures produced by electrospinning. *Applied physics letters,* 2004. 84(23): p. 4807-4809.
- [30] Lim, C., Tan,E.,& Ng,S. (2008). Effects of crystalline morphology on the tensile properties of electrospun polymer nanofibers. *Applied Physics Letters.* 92(14): p. 141908.
- [31] Li, Z. &Wang,C. (2013). Effects of working parameters on electrospinning, in one-dimensional nanostructures. Springer. p. 15-28.
- [32] Shenoy, S.L., Bates, W., Frisch, H.L, &Wnek, G.L. (2005). Role of chain entanglements on fiber formation during electrospinning of polymer solutions: good

## **Effect of solution parameters on morphology and formation of electrospun nanofibers from Azivash (*Corchorus olitorius L*)leaf gum-polyvinyl alcohol**

**Hoseyni, S. Z.<sup>1</sup>, Jafari, S. M.<sup>2</sup>, Shahiri Tabarestani, H.<sup>3\*</sup>, Ghorbani, M.<sup>4</sup>, Assadpour, E.<sup>5</sup>**

1. MSc Student of Food Eng, Faculty of Food Science, Gorgan University of Agricultural Sciences and Natural Resources, Gorgan, Golestan, Iran
2. Professor, Department of Food Engineering, Faculty of Food Science, Gorgan University of Agricultural Sciences and Natural Resources, Gorgan, Golestan, Iran
3. Assistant Professor, Department of Food Chemistry, Faculty of Food Science, Gorgan University of Agricultural Sciences and Natural Resources, Gorgan, Golestan, Iran
4. Associate Profesor, Department of Food Chemistry, Faculty of Food Science, Gorgan University of Agricultural Sciences and Natural Resources, Gorgan, Golestan, Iran
5. Department of Food Science and Technology, Baharan Institute of Higher Education, Gorgan, Golestan, Iran

**(Received: 2019/02/20 Accepted:2019/04/20)**

In the present study, Azivash leafgum (*Corchorus olitorius L.*) was used for the first time with the help of an electroporation technique in the presence of poly-vinyl alcohol as a natural nanofibre. At first, the effect of different concentrations of Azivash gum aqueous solution (2, 2.5 and 3 g / l) with polyvinyl alcohol (P70: G30, P60: G40, P50: G50 and P0: G100) on viscosity and electrical conductivityas the main soluble parameterswas studied. The results showed a significant increase in viscosity concentration with gum concentration and volume ratio of polyvinyl alcohol ( $p <0.01$ ). Regardless of the concentration of Azivash gum, by increasing the ratio of gum to polyvinyl alcohol, the electrical conductivity increased significantly ( $p <0.05$ ). In the study of shear stress-shear rate of Azivash gum and polyvinyl alcohol solutions, pseudoplastic behavior was confirmed. Investigating the fitting of rheological data with Herschel-Balkly models, power law and casson showed that the Herschel-Balkly model with the highest  $R^2$  / RMSE is desirable to describe the flow behavior. The values of the flow index and consistency coefficient were determined by the model. After the electrospinning of azivash leaf gum-polyvinyl alcohol in a constant condition (voltages of 18 kV, volumetric flow rate of 0.7 ml/hr and needle distance to a collector plate of 12 cm), by microstructure analysis and based on the morphology of bead-free fibres, the Azivash gum formulation at 2 g / L concentration and the mixing ratio of 70:30 with polyvinyl alcohol (P70: G30-C2) was selected as the most suitable formulation with a mean nanofiber diameter of 90 nm. Based on FTIR resuls, addition of gum to polyvinyl alcohol caused an increase in peak intensity due to carbonyl and hydroxyl groups glycosidic vibrations. Also, the thermal stability of the gum nanofibers of Azivash improved in the presence of polyvinyl alcohol.

**Key words:** Electrospinig, Nanofiber, Azivash plant (*Corchorus olitorius L*) Gum, Viscosity, Electrical conductivity

---

\* Corresponding Author E-Mail Address: hoda.shahiri@gau.ac.ir